

**ТОМСКИЙ ГОСУДАРСТВЕННЫЙ
УНИВЕРСИТЕТ СИСТЕМ УПРАВЛЕНИЯ И
РАДИОЭЛЕКТРОНИКИ**



**Методические указания по выполнению
самостоятельной работы по курсу «Математическое
моделирование»**

**Направление подготовки «Конструирование и технология электронных
средств», профиль «Проектирование и технология электронно-
вычислительных средств», уровень подготовки «Бакалавриат»**

Томск 2017

Настоящие краткие указания по выполнению самостоятельной работы по курсу «Математическое моделирование» состоят из файлов программ, разработанных в системе MathCad. Рекомендуется ознакомиться с текстами этих программ и воспроизвести их на своем компьютере, сравнить получаемые результаты вычисления с приводимыми в файлах.

Следует обратить внимание на то, что различные версии MathCad могут отличаться в реализации некоторых функций (кодов). Поэтому в процессе реализации программ необходимо обращаться к справочнику, содержащемуся в системе MathCad. В случае затруднений предлагается вынести возникшие вопросы на форум или обратиться к преподавателю.

Тексты программ для освоения умений и навыков математического моделирования в системе MathCad приведены ниже. Доступ к ним осуществляется через гиперссылки. В приложении также приведены распечатки программ.

[1-Закон Ома для цепи с температурно зависимым сопротивлением.htm](#)

[2-Моделирование и синтез сигналов.htm](#)

[3-Локация.htm](#)

[4-Моделирование сигналов.htm](#)

[5-Analog_spectr2.htm](#)

Приложение

Тексты программ

Закон Ома для цепи, содержащей температурно-зависимое сопротивление



Георг Симон Ом
Georg Simon Ohm
(1789 – 1854)

Ом (или ohm в англоязычной литературе) - единица электрического сопротивления СИ, названа по имени Г.С. Ома. Это сопротивление проводника, между концами которого при силе тока 1А возникает напряжение 1В.

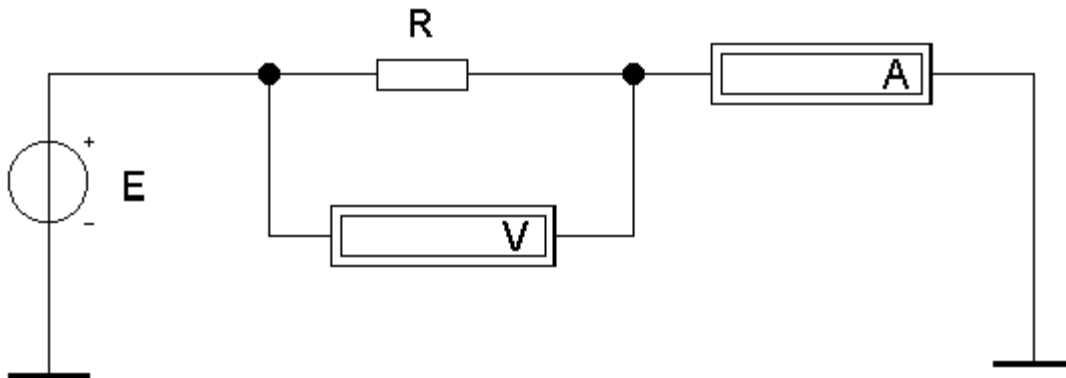


Рис.1. Электрическая цепь для изучения закона Ома:
E- источник ЭДС; R- сопротивление; A - амперметр;
V - вольтметр. Схема взята из файла Закон_Ома_1.ewb (Electronics Workbench 5.1)

Исходные данные

$R_0 := 100$

- Сопротивление цепи при начальной температуре T_0

$T_0 := 25$

- Начальная температура

$\text{TKR} := 0.15$

- Температурный коэффициент сопротивления

$q := 15$

- Коэффициент пропорциональности для расчета температуры резистора при нагреве его протекающим током

Расчет

- Вычисление неопределенного интеграла при определении функции температурной зависимости сопротивления резистора (символьно!)

$$\int TKR dT$$

- Результат вычисления интеграла при определении функции температурной зависимости сопротивления резистора (получен при символьном вычислении)

$$TKR \cdot T$$

$$R(T) := R_0 + TKR \cdot T$$

- Формула для расчета температурной зависимости сопротивления

$$T := 0..100$$

- Диапазон изменения температуры

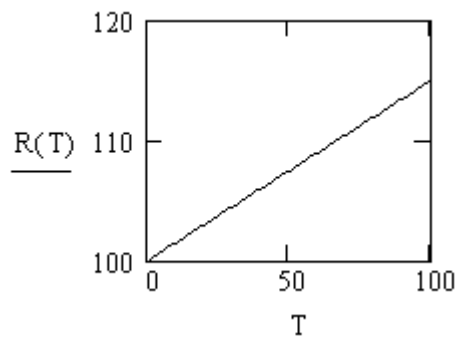


Рис.2. Зависимость сопротивления R от величины ЭДС E (схема рис.1)

$$T(E) := T_0 + q \cdot E$$

- Зависимость температуры резистора от величины E

$$E := 0..20$$

- Диапазон изменения ЭДС

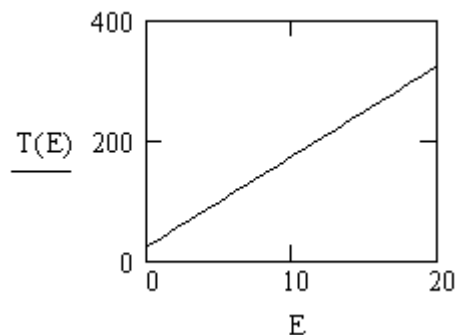


Рис.3. Зависимость температуры резистора от величины E

$$I(E) := \frac{E}{R(T(E))}$$

- Зависимость тока от величины E при нагреве резистора

$$I_1(E) := \frac{E}{R_0}$$

- Зависимость тока от величины E без нагрева резистора

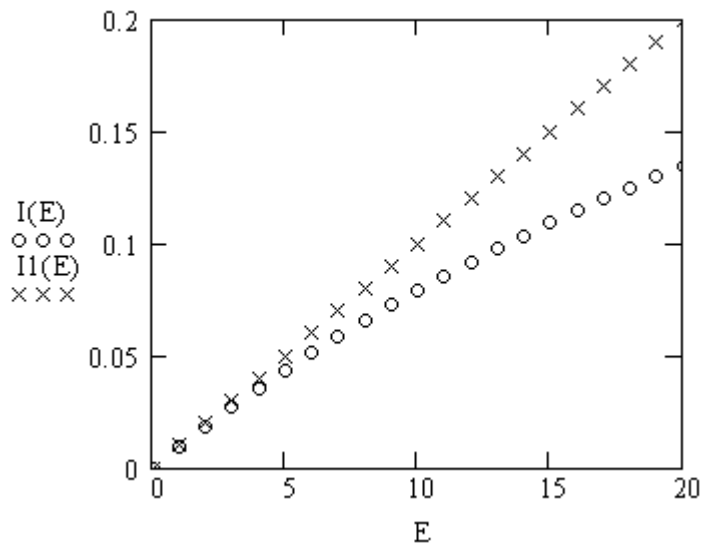


Рис.4. Сравнение зависимости тока I в цепи от величины E (схема рис.1) при постоянном сопротивлении R (показана + + +) и температурно-зависимом сопротивлении R (o o o)

Зависимость падения напряжения на резисторе от величины E при его нагреве

$$U(E) := I(E) \cdot R(T(E))$$

Зависимость дифференциального сопротивления от величины E при нагреве резистора

$$R_d(E) := \frac{U(E + 1) - U(E)}{I(E + 1) - I(E)}$$

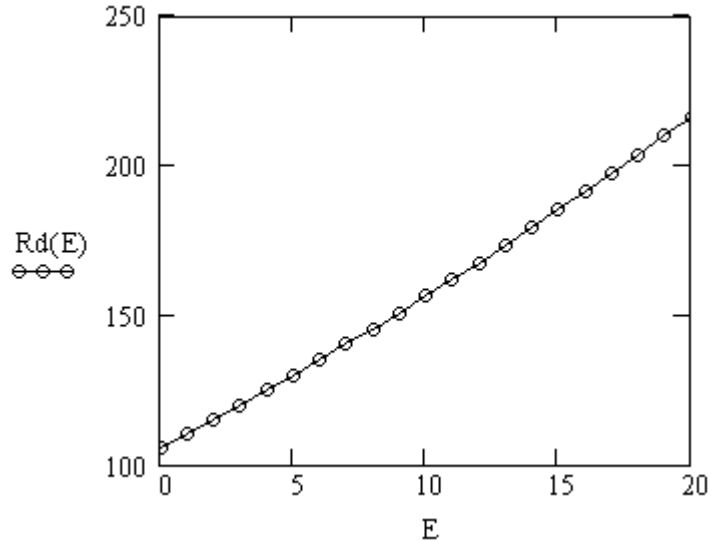


Рис.5. Зависимость дифференциального сопротивления R_d резистора (схема рис.1), рассчитанная для случая температурно-зависимого сопротивления R

$$R_d(2) = 115.3$$

- Значение сопротивления при значении ЭДС 2 В

ПРОГРАММА МОДЕЛИРОВАНИЯ, СПЕКТРАЛЬНОГО АНАЛИЗА И АППРОКСИМАЦИИ (СИНТЕЗА) ПЕРИОДИЧЕСКИХ ИМПУЛЬСНЫХ СИГНАЛОВ

1. Исходные данные:

Количество наблюдаемых точек на оси времени

$$N := 1024$$

Количество точек, на которых определяется закон изменения входного сигнала - N1

$$N1 := \frac{N}{2}$$

Шаг по времени

$$\delta t := 0.2 \cdot 10^{-6}$$

Период повторения импульсов

$$T := N \cdot \delta t$$

c

$$T = 2.048 \times 10^{-4}$$

Вычисляем частоту основной гармоники

$$f := T^{-1}$$

$$f = 4.883 \times 10^3$$

Число гармоник

$$M := N1$$

2. Моделирование импульсного сигнала u(t)

$$i := 1..N$$

- цикл по времени при моделировании сигнала

$$t_i := i \cdot \delta t$$

$$ff_i := (2 \cdot 10^5 - i \cdot 100)$$

$$p := \pi \cdot 2$$

$$\psi_i := p \cdot ff_i \cdot i \cdot \delta t$$

- фаза исходного сигнала

$$um_i := \begin{cases} i & \text{if } i \leq N1 \\ (2 \cdot N1 - i) & \text{if } i > N1 \end{cases}$$

- модель исходного сигнала

$$u_i := \left(um_i \cdot \frac{\sin(\psi_i)}{512} \right)$$

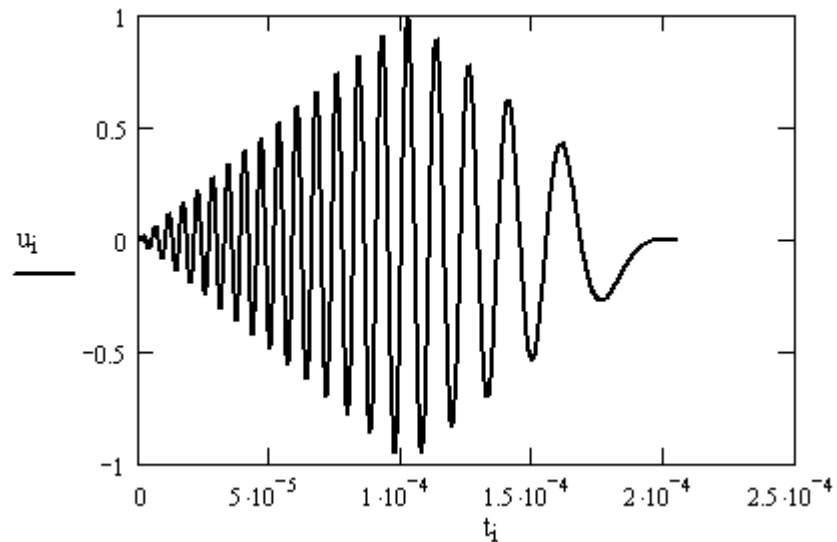


Рис.1. Входной сигнал $u(t)$

3. Спектральный анализ сигнала $u(t)$

$$j := \sqrt{-1}$$

- комплексная единица

Шаг по времени при проведении спектрального анализа

$$dt := \frac{1}{(f \cdot N)}$$

$$p := 2 \cdot \pi \cdot f \cdot dt$$

$$n := 0..M$$

- цикл по гармоническим составляющим

$$i := 0..N-1$$

- цикл по времени

Вычисляем амплитуды гармонических составляющих A_n , B_n при разложении по функциям $\cos(x)$ и $\sin(x)$ соответственно:

$$a_n := \frac{2}{N} \cdot \left(\sum_i u_i \cdot \cos(p \cdot n \cdot i) \right)$$

$$b_n := \frac{2}{N} \cdot \left(\sum_i u_i \cdot \sin(p \cdot n \cdot i) \right)$$

Вычисляем модуль амплитуд гармонических составляющих:

$$a_1 = -0.019$$

$$c_n := \sqrt{(a_n)^2 + (b_n)^2}$$

$$c_1 = 0.022$$

Вычисляем фазу гармонических составляющих:

$$f = 4.883 \times 10^3$$

$$\psi_n := -\arg(a_n + i \cdot b_n)$$

$$\psi_0 = -3.142$$

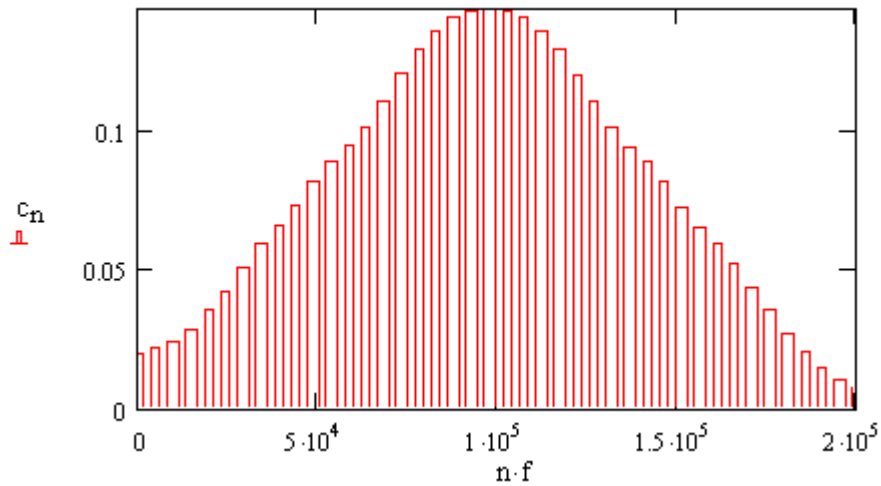


Рис.2. Амплитудный спектр периодического импульсного сигнала $u(t)$

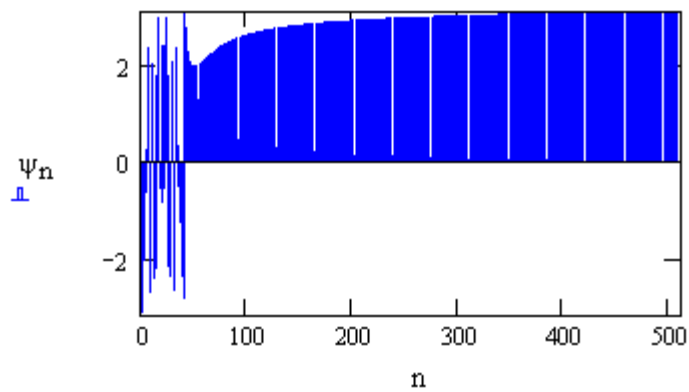


Рис.3. Фазовый спектр периодического импульсного сигнала $u(t)$

4. Спектральный синтез (аппроксимация) сигнала $u_1(t)$

Число гармоник, учитываемых при синтезе

$$N0 := 50$$

$$p1 := 2 \cdot \pi \cdot f$$

- вспомогательная переменная

Проведем аппроксимацию (синтез) сигнала $u_1(t)$ в виде ряда Фурье

$$u_1(t) := \frac{a_0}{2} + \sum_{n=1}^{N0} c_n \cdot \cos[p1 \cdot n \cdot t + (\psi)_n]$$

$$\tau_i := i \cdot dt$$

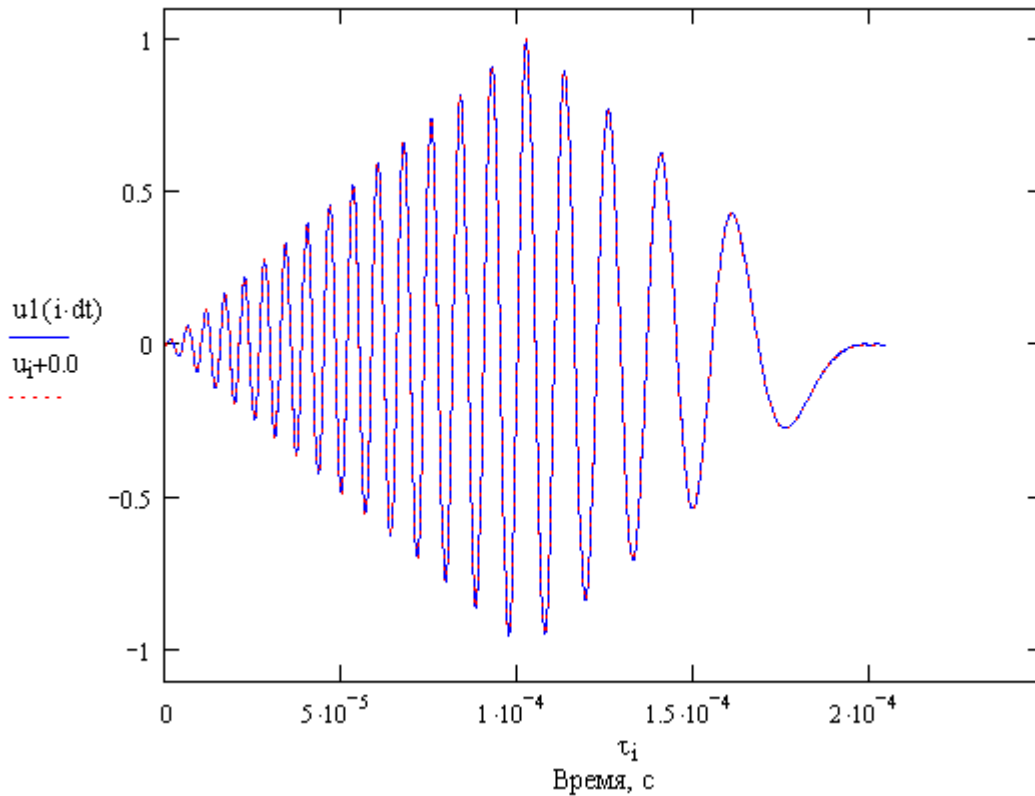


Рис.4. Результаты аппроксимации сигнала $u(t)$ (красный цвет) в виде ряда Фурье $u_1(t)$ (синий цвет)

5. Вычисление погрешности аппроксимация сигнала $u_1(t)$

$$du_i := |u_i - u_1(i \cdot dt)|$$

- модуль отклонения аппроксимирующего сигнала $u_1(t)$ от заданного $u(t)$

$$ummi := |u_i|$$

- массив из значений модулей сигнала $u(t)$

$$ummax := \max(ummi)$$

$$ummax = 0.997$$

- максимальное значение сигнала $u(t)$

$$\delta u := \max(du)$$

$$\delta u = 4.763 \times 10^{-3}$$

- абсолютная погрешность аппроксимации сигнала $u(t)$

$$\delta r := \delta u \cdot ummax^{-1} \cdot 100$$

$$\delta r = 0.478$$

- относительная погрешность аппроксимации сигнала $u(t)$ в %

5. Выводы

Результаты аппроксимации сигнала $u(t)$ в виде ряда Фурье $u_1(t)$ показывают, что при числе учитываемых гармоник N_0 аппроксимация дает относительную погрешность δr . Увеличение числа учитываемых гармоник обеспечивает еще лучшее приближение.

ПРОГРАММА МОДЕЛИРОВАНИЯ ЛОКАЦИИ ОБЪЕКТОВ С ПОМОЩЬЮ ПЕРИОДИЧЕСКИХ ИМПУЛЬСНЫХ СИГНАЛОВ

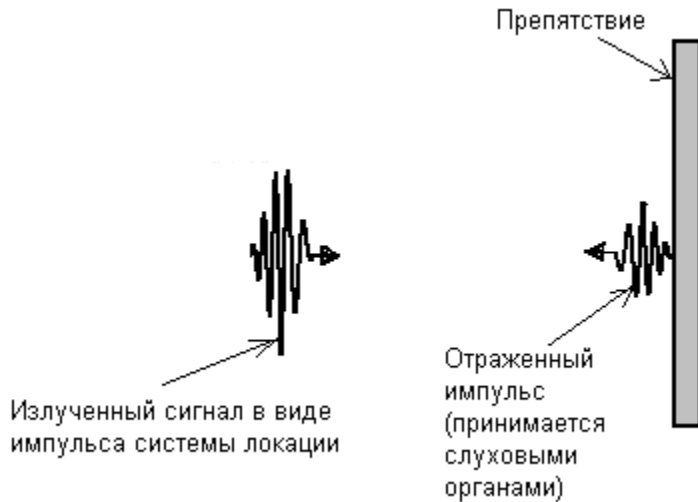


Рис. 1. Схема локации с помощью импульсных сигналов

1. Исходные данные для излученного сигнала:

Количество наблюдаемых точек на оси времени

$$N \equiv 512$$

Количество точек N_1 , на которых определяется закон изменения входного сигнала -

$$N_1 := \text{floor}\left(\frac{N}{20}\right)$$

Шаг по времени

$$\delta t := 0.1 \cdot 10^{-5}$$

Период повторения импульсов

$$T := N \cdot \delta t$$

c

$$T = 5.1 \times 10^{-4}$$

Вычисляем частоту основной гармоники

$$f := T^{-1}$$

$$f = 2 \times 10^3$$

Число гармоник

$$M \equiv \frac{N}{2}$$

2. Моделирование импульсного излученного сигнала $u(t)$

$$i := 1..N$$

- цикл по времени при моделировании сигнала

$$t_i := i \cdot \delta t$$

Задаем верхнюю частоту излучаемого импульса f_b , в Гц

$$f_b := 10^5$$

Задаем шаг изменения (модуляции) частоты излучаемого импульса f_m , в Гц

$$f_m := 800$$

Формируем закон изменения (модуляции) частоты излучаемого импульса f_i , в Гц:

$$f_i := (f_b - i \cdot f_m)$$

Формируем огибающую амплитудной модуляции излучаемой частоты f_f :

$$um_i := \begin{cases} i & \text{if } i \leq N1 \\ (2 \cdot N1 - i) & \text{if } N1 < i \leq 2 \cdot N1 \\ 0 & \text{otherwise} \end{cases}$$

- огибающая исходного сигнала

Формируем излучаемый сигнал $u(t)$:

$$p := 2 \cdot \pi$$

$$\psi_i := p \cdot ff_i \cdot i \cdot \delta t$$

- фаза исходного сигнала

$$u_i := \left(um_i \cdot \frac{\sin(\psi_i)}{N} \right)$$

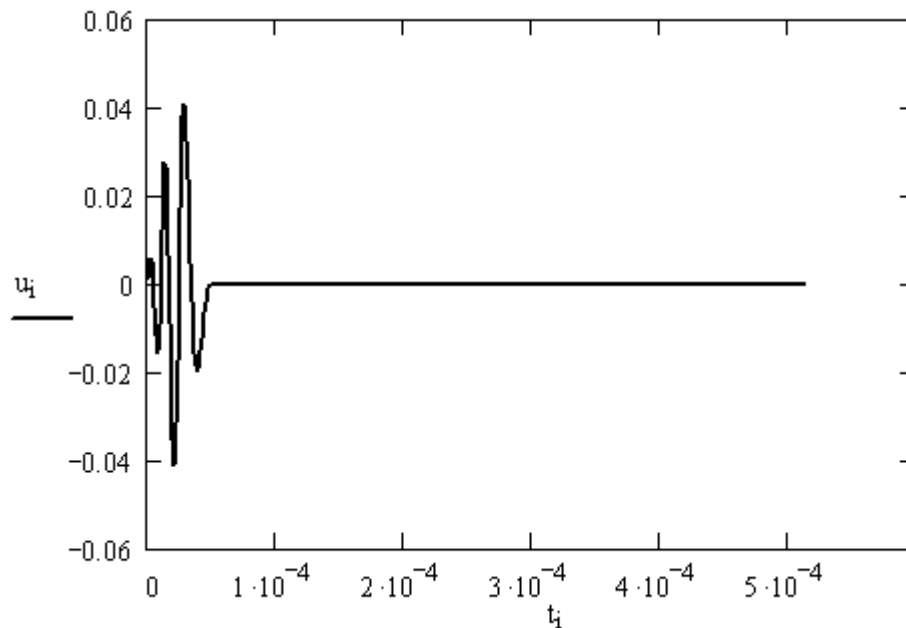


Рис.1. Излученный гортанью летучей мыши сигнал $u(t)$

3. Спектральный анализ излученного сигнала $u(t)$

$$j := \sqrt{-1}$$

- комплексная единица

$$p := 2 \cdot \pi \cdot f \cdot \delta$$

$$n := 0..M$$

- цикл по гармоническим составляющим

$$i := 0..N - 1$$

- цикл по времени

Вычисляем амплитуды гармонических составляющих a_n , b_n при разложении по функциям $\cos(x)$ и $\sin(x)$ соответственно:

$$a_n := \frac{2}{N} \cdot \left(\sum_i u_i \cdot \cos(p \cdot n \cdot i) \right)$$

$$b_n := \frac{2}{N} \cdot \left(\sum_i u_i \cdot \sin(p \cdot n \cdot i) \right)$$

Вычисляем модуль амплитуд гармонических составляющих:

$$a_0 = -1.6 \times 10^{-4}$$

$$c_n := \sqrt{(a_n)^2 + (b_n)^2}$$

$$c_1 = 1.6 \times 10^{-4}$$

Вычисляем фазу гармонических составляющих:

$$\psi_n := -\arg(a_n + i \cdot b_n)$$

$$\psi_0 = -3.1$$

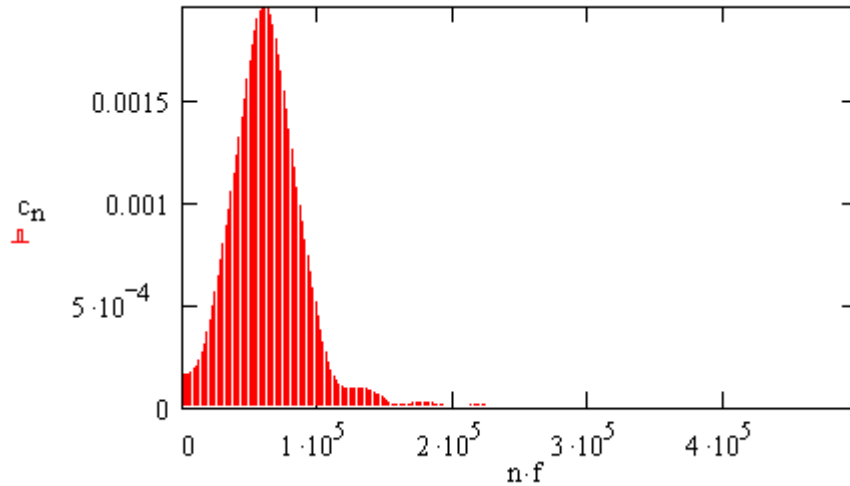


Рис.2. Амплитудный спектр периодического импульсного сигнала $u(t)$

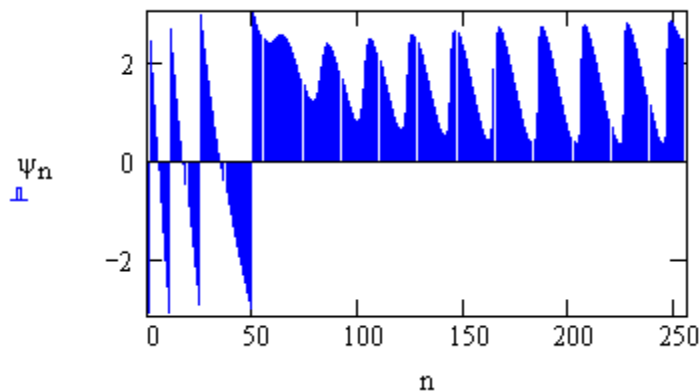


Рис.3. Фазовый спектр периодического импульсного сигнала $u(t)$

4. Спектральный синтез (аппроксимация) сигнала $u(t)$

Число гармоник, учитываемых при синтезе

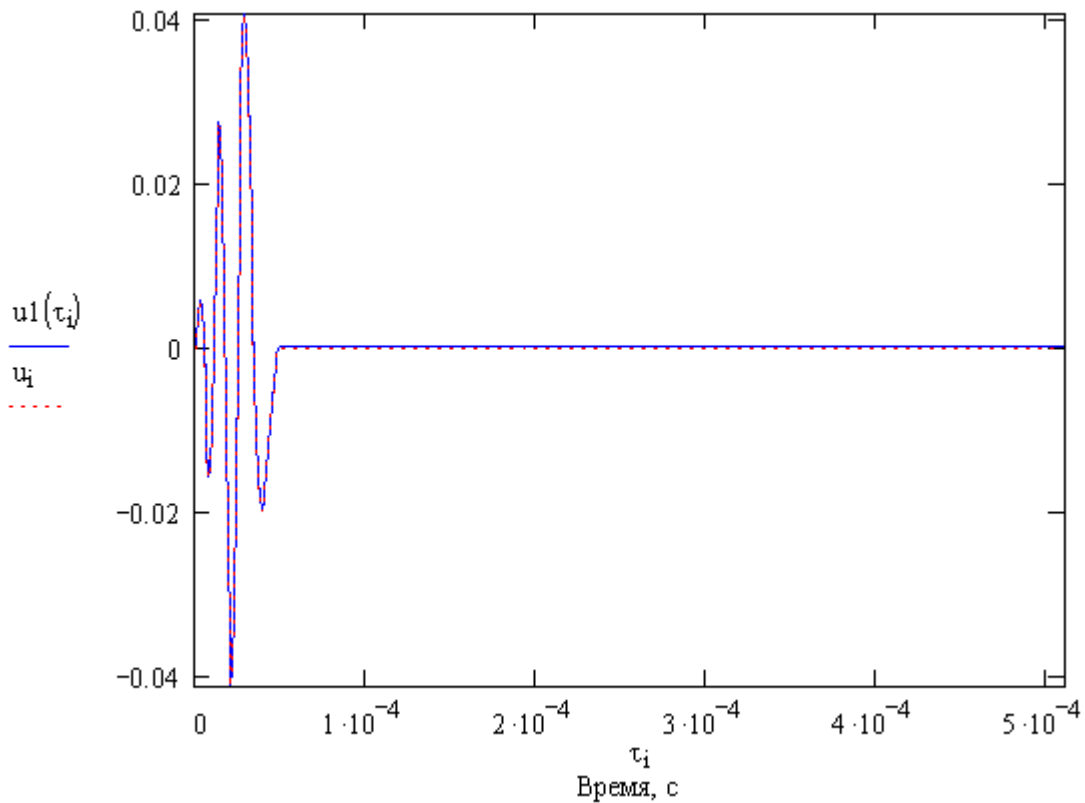
$$p1 := 2 \cdot \pi \cdot f$$

- вспомогательная переменная

Проведем аппроксимацию (синтез) излученного сигнала $u(t)$ в виде ряда Фурье, обозначив его через $u1(t)$

$$u1(t) := \frac{-a_0}{2} + \sum_{n=1}^{N0} c_n \cdot \cos(p1 \cdot n \cdot t + \psi_n)$$

$$\tau_i := i \cdot \delta t$$



$N0 \equiv M$

Рис.4. Результаты аппроксимации сигнала $u(t)$ (красный цвет) в виде ряда Фурье $u_1(t)$ (синий цвет)

5. Моделирование отраженного сигнала

Допустим, что мышь летит навстречу препятствию в виде стенки, отражающей посланный сигнал с фазой 180 град (т.е. π) для всех гармонических составляющих и коэффициентом отражения

$$s_{11n} := \frac{1}{(1 + \sqrt{n \cdot f})}$$

где $n \cdot f$ - частота n -той гармоники, взятая в кГц.

При расчете учитывается также расстояние до стенки

Длина волны, излучаемой мышью

$$V_{\text{волны}} := 300$$

м/с - скорость распространения волны

$$\lambda_n := \begin{cases} 10^9 & \text{if } n = 0 \\ \frac{V_{\text{волны}}}{n \cdot f} & \text{if } n > 0 \end{cases}$$

$$\lambda_1 = 0.2$$

Фазовый сдвиг отраженной волны, прошедшей до препятствия расстояние S

$$\theta_n := \frac{-2 \cdot S}{\lambda_n} \cdot 2 \cdot \pi + \pi$$

$$\alpha := 0$$

Показатель затухания сигнала в воздухе и на препятствии

- коэффициент передачи цепи, эквивалентной прохождению излученного импульса на трассе мышь-препятствие-мышь, определенный через элемент s21 матрицы коэффициентов рассеяния s (волновой матрицы)

$$s21_n := \frac{1}{1 + \sqrt{n \cdot f \cdot 10^{-3}}} \cdot e^{-j \cdot \theta_n} \cdot e^{-\alpha \cdot S}$$

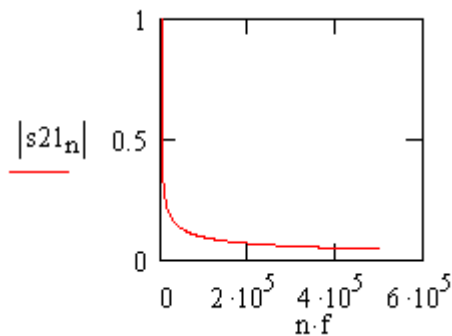


Рис. 5. Вносимое затухание на трассе, определенное через модуль элемента s21 матрицы коэффициентов рассеяния s (волновой матрицы)

вносимое затухание исследуемой трассы, определенное через элемент s21 матрицы коэффициентов рассеяния s (волновой матрицы), определяется в дБ

$$\eta_n := 20 \cdot \log(|s21_n|)$$

$$\psi_1 = 2.5$$

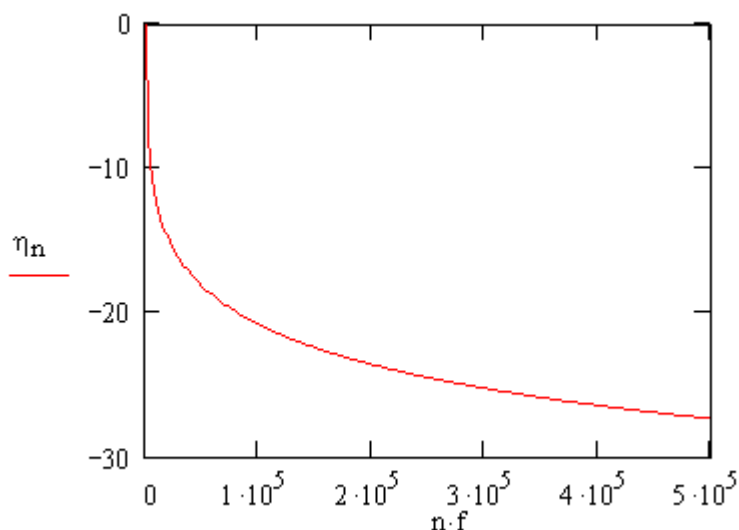


Рис. 6. Вносимое затухание в дБ на трассе мышь-препятствие-мышь, определенное через модуль элемента s21 матрицы коэффициентов рассеяния s (волновой матрицы)

фазовый сдвиг коэффициента передачи, определенный через элемент s21 матрицы коэффициентов рассеяния s (волновой матрицы), определяется в радианах

$$\theta_1 = -0.9$$

$$\alpha_n := -\arg(s21_n)$$

$$\alpha_1 = -0.9$$

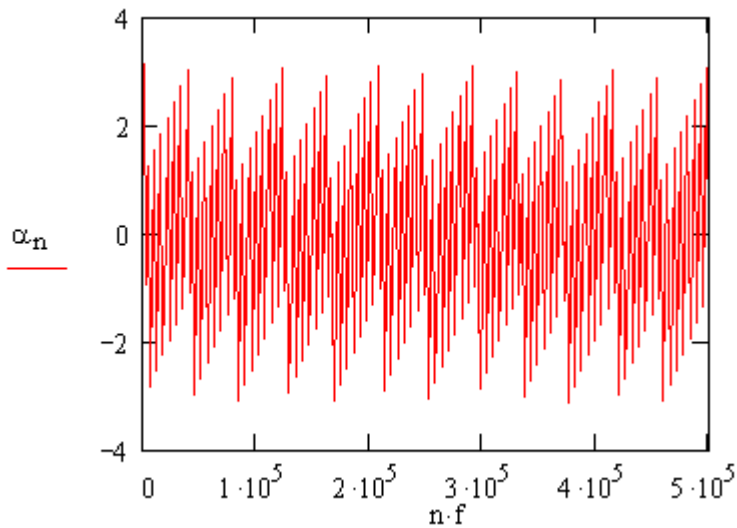


Рис. 7. Фазовый сдвиг коэффициента передачи

6. Вычисление амплитуд и фазовых сдвигов гармонических составляющих исходного сигнала, прошедших по трассе

$$M1_n := c_n \cdot |s21_n|$$

$$c_2 = 1.7 \times 10^{-4}$$

$$M1_2 = 5.6 \times 10^{-5}$$

$$\psi1_n := \psi_n + \theta_n$$

Фазовый сдвиг, учитываемый при аппроксимации отраженного сигнала

7. Расчет отраженного сигнала $ur(t)$, улавливаемого слухом мыши

Проведем аппроксимацию (синтез) сигнала $u1(t)$ в виде ряда Фурье

$$n := 1..N0$$

Число гармоник, учитываемых при расчете отклика

$$ur(t) := -a_0 \cdot M1_0 + \sum_{n=1}^{N0} M1_n \cdot \cos[p1 \cdot n \cdot (t) + \psi1_n]$$

$$\tau_1 := i \cdot \delta t$$

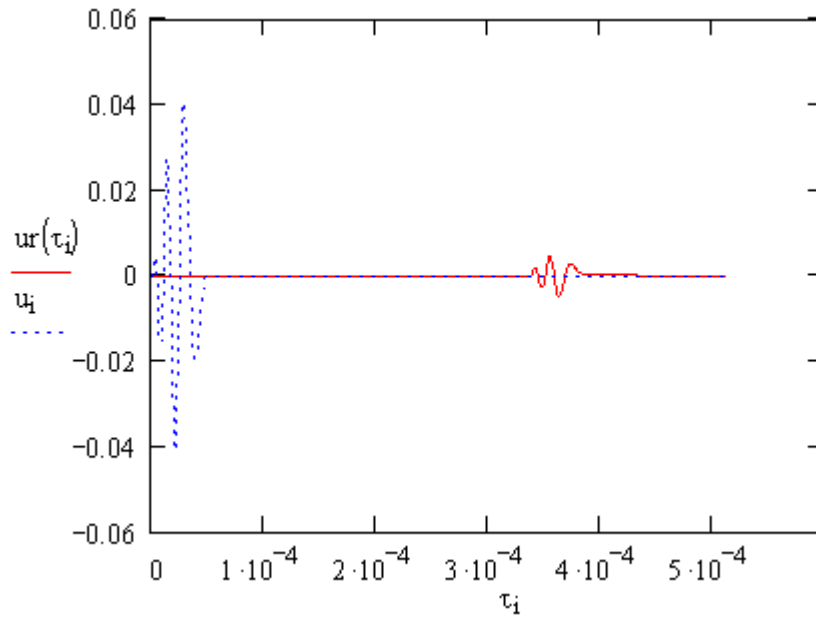


Рис.8. Зависимости от времени излученного сигнала $u(t)$ (синий цвет) и отраженного от препятствия сигнала $ur(t)$ (красный цвет)

9. Расчет группового времени запаздывания сигнала $u(t)$ на трассе мышь-препятствие-мышь

Среднее групповое время запаздывания волны на трассе мышь-препятствие-мышь:

$$S \equiv 0.05$$

- расстояние до препятствия в м (метрах)

$$\tau_{гр} := 2 \cdot \frac{S}{V_{волны}} \cdot 10^3$$

$$\tau_{гр} = 0.3$$

мс

$$k := 1..N0$$

- дополнительный цикл при расчете группового времени запаздывания $\tau_{гр}$

- групповое время запаздывания $\tau_{гр}$ гармонических составляющих сигнала на трассе

$$\tau_{грk} := -\frac{\theta_k - \theta_{k-1}}{2 \cdot \pi \cdot f}$$

$$\tau_{гр1} = 3.3 \times 10^{-4}$$

- значение группового времени запаздывания

$\tau_{гр}$ на выбранной частоте

- групповое время запаздывания $\tau_{1гр}$ гармонических составляющих сигнала с учетом "собственной" задержки и трассы

$$\tau_{1грk} := -\frac{\psi_{1k} - \psi_{1k-1}}{2 \cdot \pi \cdot f}$$

- значение группового времени запаздывания

$\tau_{1гр}$ на выбранной частоте

$$\tau_{1гр30} = 3.6 \times 10^{-4}$$

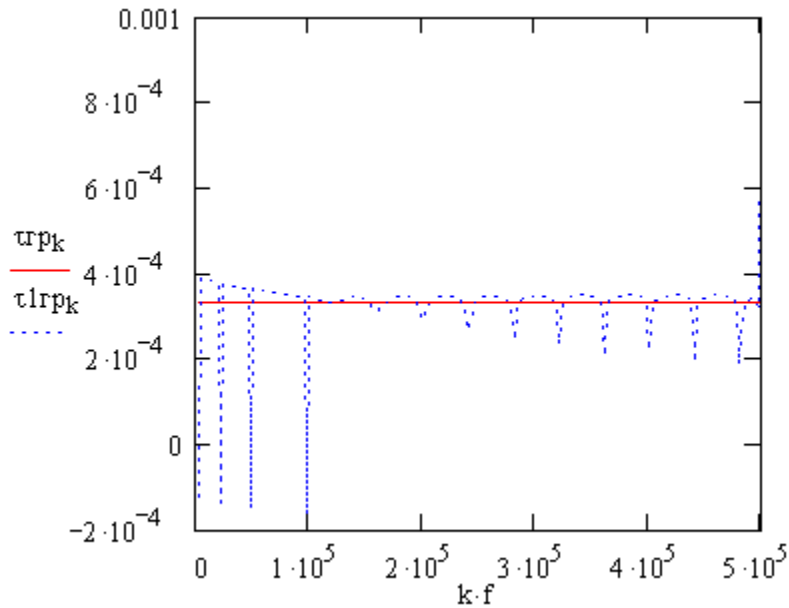


Рис.9. Частотная зависимость группового времени запаздывания τ_{gr}

10. Вычисление погрешности аппроксимация сигнала $u(t)$

$$du_i := |u_i - u1(i \cdot \delta t)|$$

- модуль отклонения аппрокимирующего сигнала $u1(t)$ от заданного $u(t)$

$$ummi := |u_i|$$

- массив из значений модулей сигнала $u(t)$

$$ummax := \max(ummi)$$

$$ummax = 0$$

- максимальное значение сигнала $u(t)$

$$\delta u := \max(du)$$

$$\delta u = 1.6 \times 10^{-4}$$

- абсолютная погрешность аппроксимации сигнала $u(t)$

$$\delta r := \delta u \cdot ummax^{-1} \cdot 100$$

$$\delta r = 0.4$$

- относительная погрешность аппроксимации сигнала $u(t)$ в %

11. Выводы

Результаты аппроксимации сигнала $u(t)$ в виде ряда Фурье $u1(t)$ показывают, что при числе учитываемых гармоник $N0$ аппроксимация дает относительную погрешность δr . Увеличение числа учитываемых гармоник обеспечивает еще лучшее приближение.

ANALOG_SPECTR1 - ПРОГРАММА МОДЕЛИРОВАНИЯ, СПЕКТРАЛЬНОГО АНАЛИЗА И АППРОКСИМАЦИИ (СИНТЕЗА) ПЕРИОДИЧЕСКИХ ИМПУЛЬСНЫХ СИГНАЛОВ

1. Исходные данные: период повторения импульсов

$$T := 0.001 \text{ с}$$

Вычисляем тактовую частоту повторения

$$f := T^{-1}$$

$$f = 1 \times 10^3$$

Количество наблюдаемых точек на оси времени

$$N := 1024$$

Количество точек, на которых определяется закон изменения входного сигнала - N1

$$N1 := 128$$

Шаг по времени

$$\delta t := T \cdot N1^{-1}$$

Число гармоник

$$M := N1$$

2. Моделирование импульсного сигнала $u(t)$

$$i := 0..N$$

- цикл по времени при моделировании сигнала

$$p := \pi \cdot 2$$

$$\psi_i := p \cdot i \cdot f \cdot \delta t$$

- фаза исходного сигнала

$$u_i := \begin{cases} \sin(\psi_i) & \text{if } i \leq \frac{N1}{2} \\ 0 & \text{if } i > \frac{N1}{2} \end{cases}$$

- модель исходного сигнала

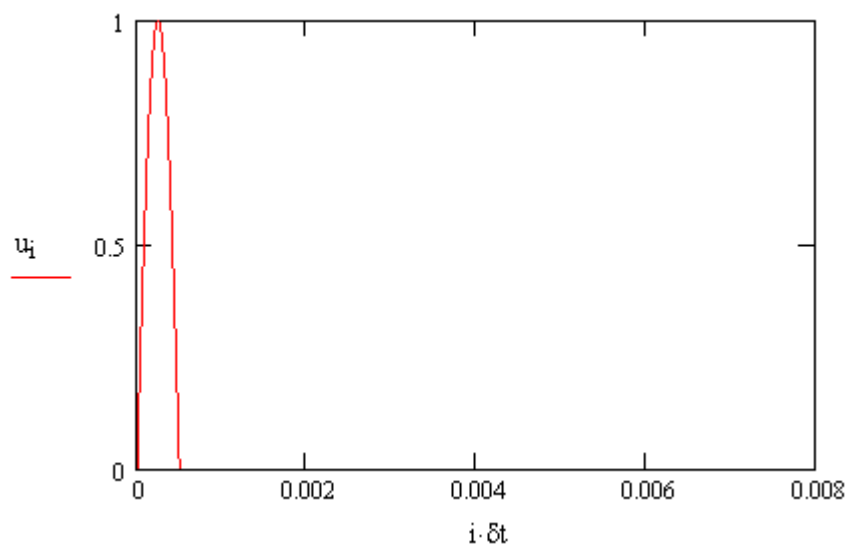


Рис.1. Входной сигнал $u(t)$

3. Спектральный анализ сигнала $u(t)$

$$j := \sqrt{-1}$$

- комплексная единица

Шаг по времени при проведении спектрального анализа

$$dt := \frac{1}{(f \cdot N)}$$

$$p := 2 \cdot \pi \cdot f \cdot dt$$

$$n := 0..M$$

- цикл по гармоническим составляющим

$$i := 0..N-1$$

- цикл по времени

Вычисляем амплитуды гармонических составляющих A_n , B_n при разложении по функциям $\cos(x)$ и $\sin(x)$ соответственно:

$$A_n := \sum_i u_i \cdot \cos(p \cdot n \cdot i)$$

$$B_n := \sum_i u_i \cdot \sin(p \cdot n \cdot i)$$

Вычисляем модуль амплитуд гармонических составляющих:

$$M_n := |A_n + j \cdot B_n| \cdot \left(\frac{2}{N}\right)$$

Вычисляем фазу гармонических составляющих:

$$\psi_n := -\arg(A_n + j \cdot B_n)$$

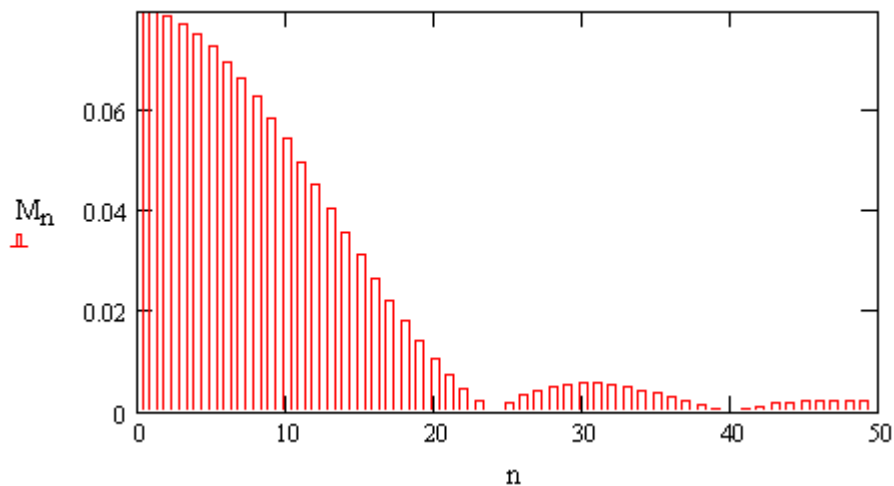


Рис.2. Амплитудный спектр периодического импульсного сигнала $u(t)$

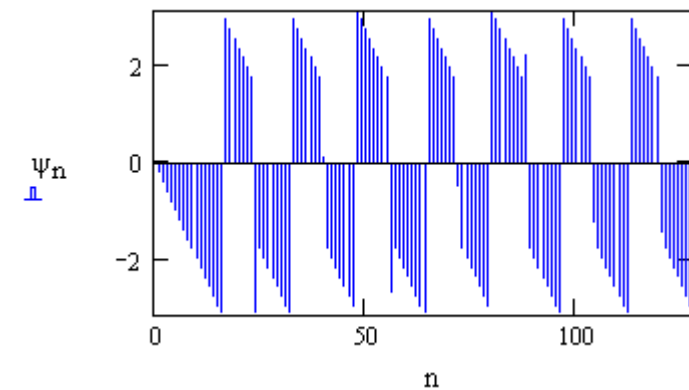


Рис.3. Фазовый спектр периодического импульсного сигнала $u(t)$

4. Спектральный синтез (аппроксимация) сигнала $u_1(t)$

Число гармоник, учитываемых при синтезе

$$N0 := 50$$

$$p1 := 2 \cdot \pi \cdot f$$

- вспомогательная переменная

Проведем аппроксимацию (синтез) сигнала $u1(t)$ в виде ряда Фурье

$$u1(t) := \frac{A_0}{N} + \sum_{n=1}^{N0} M_n \cdot \cos(p1 \cdot n \cdot t + \psi_n)$$

$$\tau_i := i \cdot dt$$

$$\frac{A_0}{N} = 0.04$$

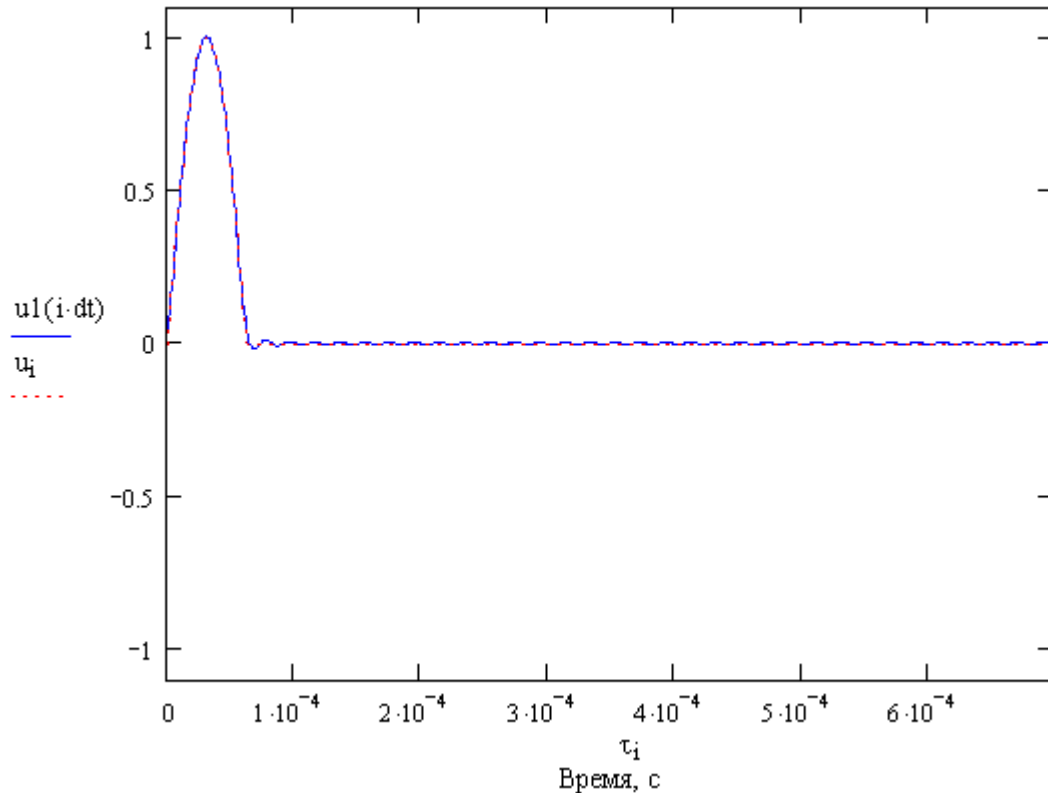


Рис.4. Результаты аппроксимации сигнала $u(t)$ (красный цвет) в виде ряда Фурье $u1(t)$ (синий цвет)

5. Вычисление погрешности аппроксимация сигнала $u1(t)$

$$du_i := |u_i - u1(i \cdot dt)|$$

- модуль отклонения аппрокимирующего сигнала $u1(t)$ от заданного $u(t)$

$$ummi := |u_i|$$

- массив из значений модулей сигнала $u(t)$

$$ummax := \max(ummi)$$

$$ummax = 1$$

- максимальное значение сигнала $u(t)$

$$\delta u := \max(du)$$

$$\delta u = 0.048$$

- абсолютная погрешность аппроксимации сигнала $u(t)$

$$\delta r := \delta u \cdot ummax^{-1} \cdot 100$$

$$\delta r = 4.843$$

- относительная погрешность аппроксимации сигнала $u(t)$ в %

5. Выводы

Результаты аппроксимации сигнала $u(t)$ в виде ряда Фурье $u_1(t)$ показывают, что даже при числе учитываемых гармоник $N_0=15$ аппроксимация дает относительную погрешность 17.2%. Увеличение числа учитываемых гармоник обеспечивает еще лучшее приближение.

ANALOG_SPECTR2 - ПРОГРАММА АНАЛИЗА ЧАСТОТНЫХ ХАРАКТЕРИСТИК ПРОСТЕЙШИХ ЦЕПЕЙ И РАСЧЕТА ИХ ОТКЛИКА НА ВОЗДЕЙСТВИЕ ПЕРИОДИЧЕСКИХ ИМПУЛЬСНЫХ СИГНАЛОВ

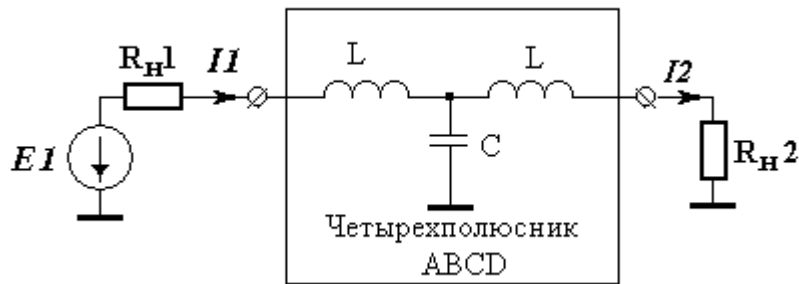


Рис.1. Схема анализируемой цепи

1. Исходные данные импульсного сигнала:

Период повторения импульсов

$$T := 0.001$$

с

Вычисляем тактовую частоту повторения

$$f := T^{-1}$$

$$f = 1 \times 10^3$$

Количество наблюдаемых точек на оси времени

$$N := 1024$$

Количество точек, на которых определяется закон изменения входного сигнала - N1

$$N1 := 128$$

Шаг по времени

$$\delta t := T \cdot N1^{-1}$$

Число гармоник

$$Max := N1$$

2. Моделирование импульсного сигнала $u(t)$

$$i := 0..N$$

- цикл по времени при моделировании сигнала

$$p := \pi \cdot 2$$

$$\psi_i := p \cdot i \cdot f \cdot \delta t$$

- фаза исходного сигнала

$$u_i := \begin{cases} \sin(\psi_i) & \text{if } i \leq N1 \\ 0 & \text{if } i > N1 \end{cases}$$

- модель исходного сигнала

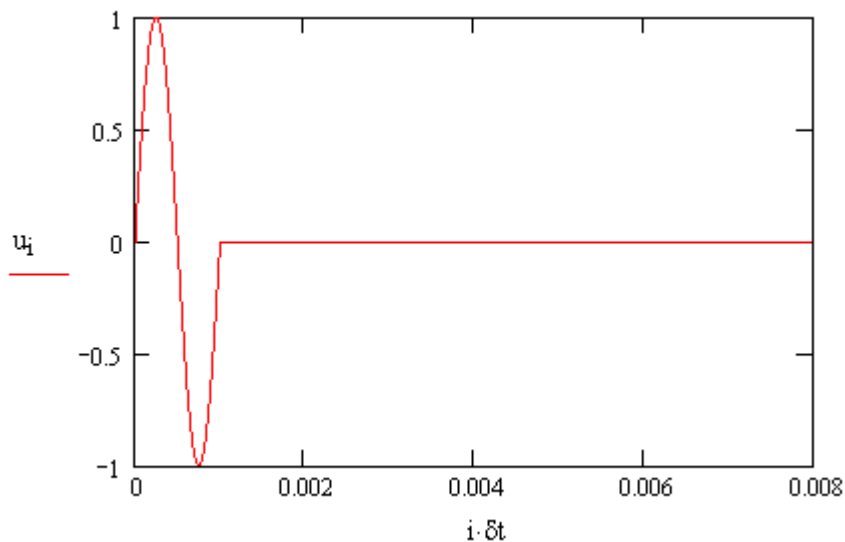


Рис.2. Входной сигнал $u(t)$

3. Спектральный анализ сигнала $u(t)$

$$j := \sqrt{-1}$$

- комплексная единица

Шаг по времени при проведении спектрального анализа

$$dt := \frac{1}{(f \cdot N)}$$

$$p := 2 \cdot \pi \cdot f \cdot dt$$

$$n := 0..Max$$

- цикл по гармоническим составляющим

$$i := 0..N - 1$$

- цикл по времени

Вычисляем амплитуды гармонических составляющих A_n , B_n при разложении по функциям $\cos(x)$ и $\sin(x)$ соответственно:

$$A_n := \sum_i u_i \cdot \cos(p \cdot n \cdot i)$$

$$B_n := \sum_i u_i \cdot \sin(p \cdot n \cdot i)$$

Вычисляем модуль амплитуд гармонических составляющих:

$$M_n := |A_n + j \cdot B_n| \cdot \left(\frac{2}{N}\right)$$

$$MM_n := M_n$$

Вычисляем фазу гармонических составляющих:

$$\psi_n := -\arg(A_n + j \cdot B_n)$$

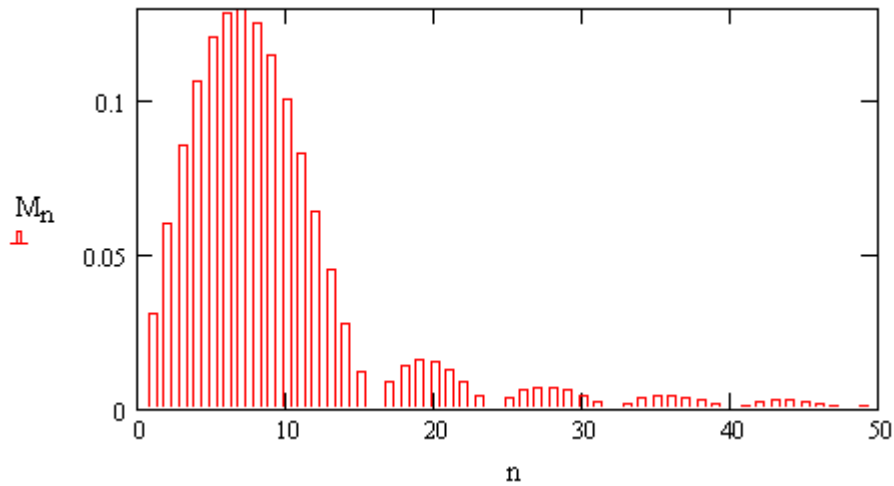


Рис.3. Амплитудный спектр периодического импульсного сигнала $u(t)$

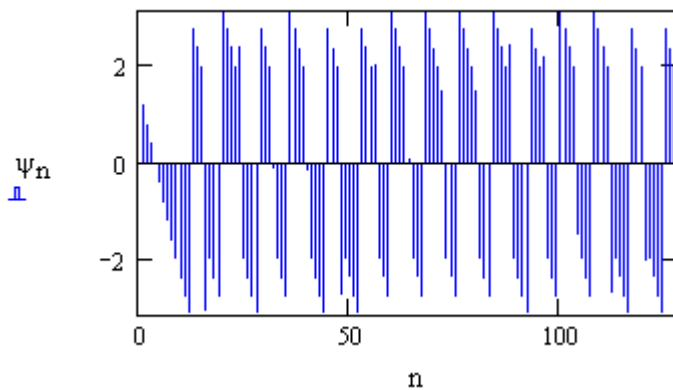


Рис.4. Фазовый спектр периодического импульсного сигнала $u(t)$

4. Анализ цепи матричным методом

4.1. Подготовка исходных данных

Исходные данные для цепи:

$$R_{н1} := 50$$

- входное сопротивление нагрузки, Ом;

$$R_{н2} := 50$$

- выходное сопротивление нагрузки, Ом;

$$L := 0.5 \cdot 10^{-3}$$

- индуктивность, Гн;

$$C := 10000 \cdot 10^{-11}$$

- емкость, Ф/м;

$$\omega(n) := 2 \cdot \pi \cdot (f \cdot n)$$

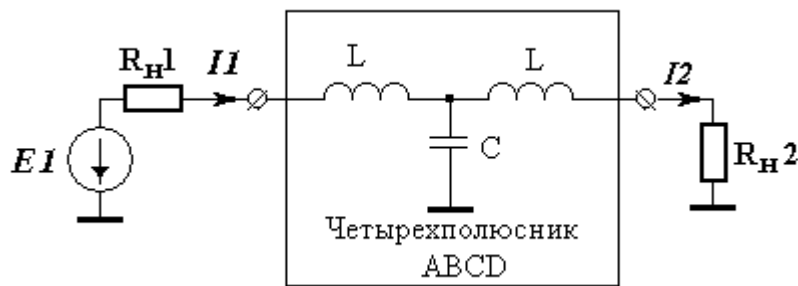
- круговая частота n-той гармоники;

$$Z_n := j \cdot \omega(n) \cdot L$$

- сопротивление индуктивности, Ом

$$Y_n := j \cdot \omega(n) \cdot C$$

- проводимость емкости, Сим



4.2. Вычисление матрицы передачи

- классическая матрица передачи a

T-образной цепочки

$$a_n := \begin{bmatrix} 1 + Z_n \cdot Y_n & 2 \cdot Z_n + [(Z_n)^2] \cdot Y_n \\ Y_n & 1 + Z_n \cdot Y_n \end{bmatrix}$$

- классическая нормированная

матрица передачи A

T-образной цепочки

$$AD_n := \begin{bmatrix} (a_n)_{0,0} \cdot \sqrt{\frac{R_{н2}}{R_{н1}}} & \frac{(a_n)_{0,1}}{\sqrt{R_{н1} \cdot R_{н2}}} \\ (a_n)_{1,0} \cdot \sqrt{R_{н1} \cdot R_{н2}} & (a_n)_{1,1} \cdot \sqrt{\frac{R_{н1}}{R_{н2}}} \end{bmatrix}$$

4.3. Вычисление коэффициента передачи, вносимого затухания, фазового сдвига, группового времени запаздывания

$$s21_n := \frac{2}{[(AD_n)_{0,0} + (AD_n)_{1,0} + (AD_n)_{1,1} + (AD_n)_{0,1}]}$$

- коэффициент передачи исследуемой цепи,

определенный через элемент $s21$ матрицы коэффициентов рассеяния s (волновой матрицы)

T-образной цепочки (определяется в комплексном виде)

- вносимое затухание исследуемой цепи,

определенный через элемент $s21$ матрицы коэффициентов рассеяния s (волновой матрицы)

T-образной цепочки (определяется в дБ)

$$\eta_n := 20 \cdot \log(|s21_n|)$$

- фазовый сдвиг коэффициент передачи исследуемой цепи, определенный через элемент $s21$ матрицы коэффициентов рассеяния s (волновой матрицы)

T-образной цепочки (определяется в радианах)

$$\phi_n := -\arg(s21_n) \cdot \frac{180}{\pi}$$

$$f_n := \omega(n) \cdot \frac{10^{-6}}{2 \cdot \pi}$$

- текущая частота в МГц

$k := 1 \dots \text{Max}$

- дополнительный цикл при расчете группового времени запаздывания $\tau_{гр}$

$$\tau_{pk} := \frac{1}{\omega(1) - \omega(0)} \cdot \frac{\operatorname{Re}(s_{21k}) \cdot \operatorname{Im}(s_{21k-1}) - \operatorname{Im}(s_{21k}) \cdot \operatorname{Re}(s_{21k-1})}{s_{21k} \cdot \overline{s_{21k-1}}}$$

- групповое время запаздывания τ_{gr}

$$f_k := \omega(k) \cdot \frac{10^{-6}}{2 \cdot \pi}$$

- текущая частота в МГц (при расчете τ_{gr})

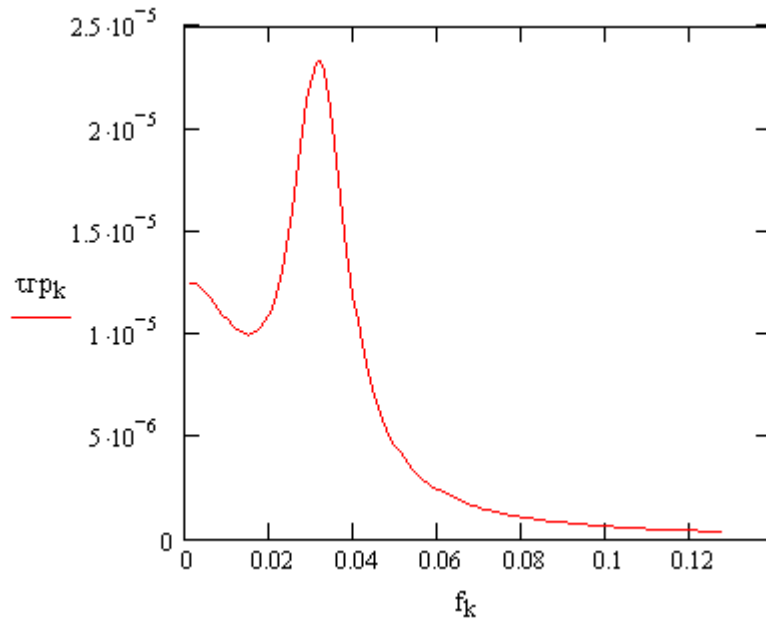


Рис.5 Частотная зависимость группового времени запаздывания τ_{gr}

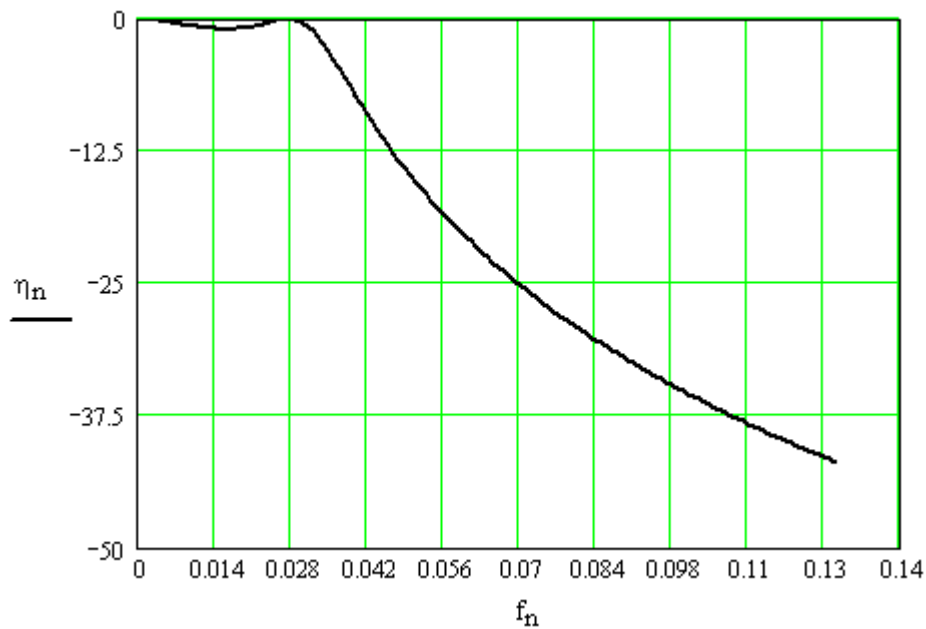


Рис.6 Частотная зависимость вносимого затухания η в дБ

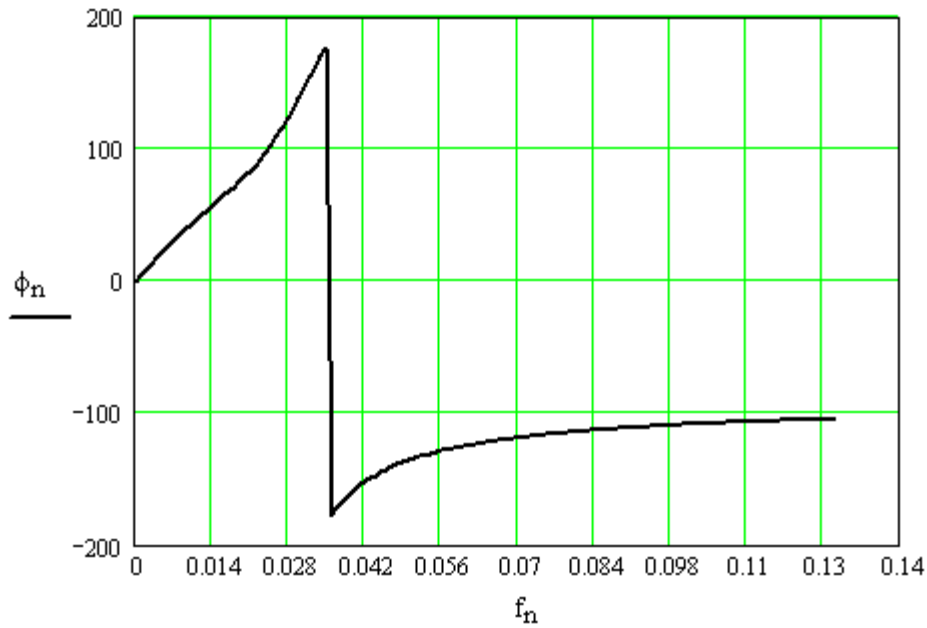


Рис.7. Частотная зависимость фазового сдвига ϕ в град
 4.4. Вычисление амплитуд и фазовых сдвигов гармонических составляющих исходного сигнала, подвергшихся обработке цепью

$$M1_n := MM_n \cdot |s21_n|$$

$$\psi1_n := \psi_n + \phi_n$$

5. Расчет отклика цепи $u1(t)$ на входной сигнал $u(t)$

Число гармоник, учитываемых при расчете отклика

$$N0 := 25$$

$$p1 := 2 \cdot \pi \cdot T^{-1}$$

- вспомогательная переменная

Проведем аппроксимацию (синтез) сигнала $u1(t)$ в виде ряда Фурье

$$u1(t) := \frac{-A_0}{N} + \sum_{n=1}^{N0} M1_n \cdot \cos(p1 \cdot n \cdot t + \psi1_n)$$

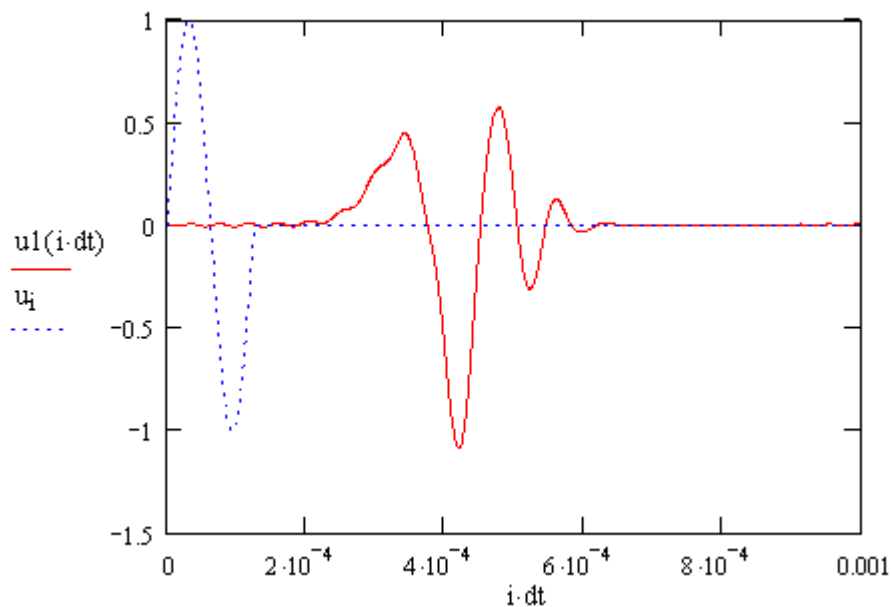


Рис.8. Зависимости от времени входного сигнала $u(t)$ (синий цвет) и отклика цепи $u1(t)$ (красный цвет), имеющей частотные характеристики, показанные на рис.5- рис.7

6. Выводы

При обработке сигнала $u(t)$ анализируемой цепью наблюдается значительное изменение его формы из-за амплитудных и фазовых искажений, вносимых цепью.